



11G_Ant1_2437



11G_Ant2_2437



11G_Ant1_2462



11G_Ant2_2462



11N20SISO_Ant1_2412



11N20SISO_Ant2_2437



11N20SISO_Ant1_2462



11N20SISO_Ant2_2462



11AX20SISO_Ant1_2412



11AX20SISO_Ant2_2412



11AX20SISO_Ant1_2437



11AX20SISO_Ant2_2437



11AX20SISO_Ant1_2462



11AX20SISO_Ant2_2462



11N20MIMO_Ant1_2412



11N20MIMO_Ant2_2412



11N20MIMO_Ant1_2437



11N20MIMO_Ant2_2437



11N20MIMO_Ant1_2462



11N20MIMO_Ant2_2462



11AX20MIMO_Ant1_2412



11AX20MIMO_Ant2_2412



11AX20MIMO_Ant1_2437



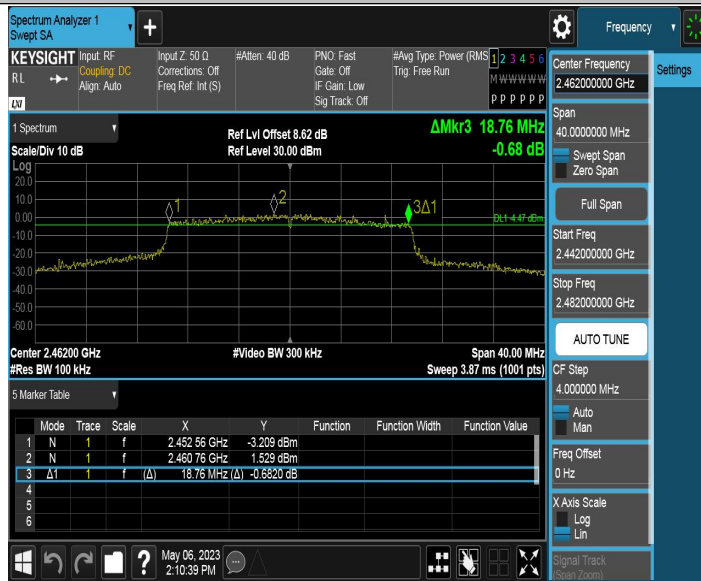
11AX20MIMO_Ant2_2437



11AX20MIMO_Ant1_2462



11AX20MIMO_Ant2_2462



Occupied Channel Bandwidth

Test Graphs

